

СУЩЕСТВОВАНИЕ РЕШЕНИЯ УРАВНЕНИЯ ТИПА  
РЭЛЕЯ НА ПОЛУБЕСКОНЕЧНОМ ЦИЛИНДРЕ С  
ПОТЕНЦИАЛОМ КУЛОНовСКОГО ТИПА

Р.К. Гайдуков 

Представлено О.С. Розановой

**Abstract:** In this paper we study a Rayleigh-type equation on a semi-infinite cylinder with a Coulomb-type potential. This equation arises in the double-deck boundary layer structure in the problem of flow induced by a uniformly rotating disk with small periodic irregularities on its surface for large Reynolds numbers. Using combined numerical and analytical approach, the existence of a unique solution to the Rayleigh-type equation is proven.

**Keywords:** existence and uniqueness of solution, Rayleigh-type equation, double-deck structure.

## 1 Введение

Двухпалубная структура пограничного слоя, наряду с широко известной трехпалубной [1, 2, 3, 4], является одной из широко используемых математических моделей пограничного слоя в задачах обтекания малых неровностей, допускающих явление отрыва пограничного слоя от обтекаемой поверхности. В рамках этих моделей, исходная система уравнений

---

GAYDUKOV, R.K., EXISTENCE OF SOLUTION OF RAYLEIGH-TYPE EQUATION ON SEMI-INFINITE CYLINDER WITH COULOMB-TYPE POTENTIAL.

© 2024 Гайдуков Р.К..

Исследование выполнено за счет гранта Российского научного фонда № 19-71-10003, <https://rscf.ru/en/project/19-71-10003/>.

Поступила 1 ноября 2023 г., опубликована 13 марта 2024 г.

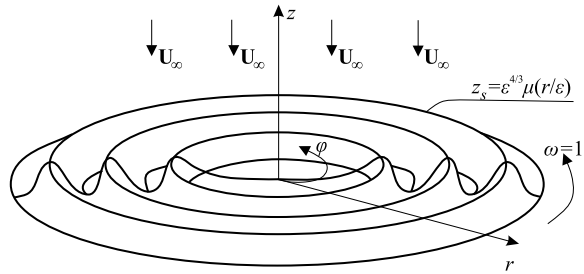


Рис. 1. Вращающийся диск с малыми периодическими неровностями, из [14]

Навье–Стокса и неразрывности с помощью различных асимптотических методов редуцируется к более простым задачам, допускающим простое аналитическое или численное решение, см. подробнее в [5, 6]. Такой подход позволяет избежать ресурсоемкого прямого численного моделирования уравнений Навье–Стокса в области, содержащей несколько разных масштабов, порождаемых геометрией обтекаемой неровности.

В задаче обтекания быстроосциллирующих неровностей двухпалубная структура впервые была открыта в работе В.Г. Данилова и М.В. Макаровой [7], и с тех пор она активно исследовалась в различных задачах обтекания — течения вдоль пластин с шероховатостями [8, 9, 10, 11, 12], течения в трубах и каналах с шероховатыми стенками [13]. В одной из недавних работ [14], двухпалубная структура была получена в задаче о течении, индуцированном равномерно вращающимся диском с малыми шероховатостями на его поверхности, в том числе — с малыми периодическими (быстроосциллирующими) неровностями, см. рис. 1. Отметим, что многопалубные структуры для такого класса задач ранее практически не рассматривались, помимо [14] известна лишь одна работа [15].

Однако, помимо непосредственно самого вывода уравнений с помощью асимптотических методов, что было сделано в [14], возникает вопрос о существовании решений получившихся редуцированных уравнений. Ответ на этот вопрос равносителен ответу на вопрос о существовании двухпалубной структуры в рассматриваемой задаче.

Двухпалубная структура состоит из нижней палубы (см. область I на рис. 2) — тонкого пограничного слоя и средней палубы (см. область II на рис. 2) — области классического пограничного слоя Прандтля (в задаче о течении вдоль пластины), или фон Кармана (в задаче о течении индуцированном вращающимся диском). Отметим, что такие названия являются общепринятыми в теории многопалубных структур (например, см. [3, 2]). Течение на нижней палубе описывается системой уравнений Прандтля с самоиндукционным давлением (см. (5) ниже), которая широко исследована во множестве работ, см., например, [8, 9, 10, 11]. А осцилляции течения в средней палубе описываются уравнением типа

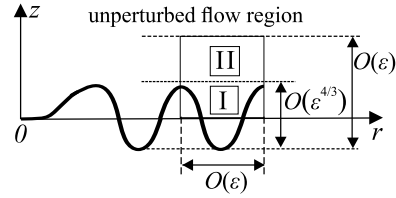


Рис. 2. Сечение  $(r, z)$  рассматриваемой геометрии и двухпалубная структура I — нижняя палуба, II — средняя палуба

Рэлея (см. (6) ниже), которое отличается от аналогичного для случая обтекания пластины [5, 9, 16] — потенциалы в них кардинально различаются. А именно, в случае течения, индуцированного вращающимся диском, потенциал в уравнении типа Рэлея есть потенциал типа Кулона, см. рис. 3, а в случае течения вдоль пластины [16] потенциал представлял собой малую потенциальную яму, для которого в [16] было доказано существование единственного решения уравнения типа Рэлея. Поэтому результаты исследования уравнения типа Рэлея для пластины [16] не могут быть просто перенесены на исследуемый в данной работе случай.

Для дальнейшего изложения, необходимо привести результаты из работы [14]. Как отмечено выше, в данной работе двухпалубная структура построена для стационарной задачи о течении вязкой несжимаемой жидкости, индуцированном равномерно вращающимся с безразмерной угловой скоростью  $\omega = 1$  диском с малыми периодическими неровностями при больших значениях числа Рейнольдса  $Re$ . Отметим, что рассматривается аксиально-симметричный случай. Пусть  $(r, \varphi, z)$  — безразмерная цилиндрическая система координат, ось  $z$  совпадает с осью вращения диска,  $\varphi \in [0, 2\pi]$ ,  $\mathbf{U} = (u(r, z), v(r, z), w(r, z))$  — безразмерный вектор скорости,  $p(r, z)$  — безразмерное давление, а поверхность диска имеет вид  $z_s = \varepsilon^{4/3}\mu(r, r/\varepsilon)$ , где  $\varepsilon = Re^{-1/2}$  — малый параметр, функция  $\mu = \mu(r, \xi)$  — некоторая гладкая  $2\pi$  — периодическая по  $\xi$  функция, такая, что  $\frac{\partial^k \mu(r, \xi)}{\partial r^k}|_{r=0} = 0$ ,  $k = 0, 1, 2$  (неровности гладко начинаются на некотором маленьком расстоянии  $\delta$  от центра диска),  $\int_0^{2\pi} \mu(r, \xi) d\xi = 0$ , см. рис. 1. Значение  $\delta$  такое, что классический пограничный слой фон Кармана [17] уже сформировался на этом расстоянии.

Хорошо известно [18], что в задачах о течениях, индуцированных равномерно вращающимся диском, радиальная компонента  $u$  вектора скорости преобладает, и для выполнения уравнения неразрывности возникает постоянный «поддерживающий» поток  $\mathbf{U}_\infty = (0, 0, -\varepsilon u_\infty)$ , направленный противоположно оси  $z$ , где  $u_\infty$  определяется в процессе решения задачи (см. подробнее в Теореме 1 ниже). Рассматриваемая задача описывается системой уравнений Навье–Стокса и неразрывности [19], дополненной условиями прилипания  $\mathbf{U}|_{z=z_s} = (0, \omega r, 0)$  и условиями соглашения с «поддерживающим» потоком  $\mathbf{U}|_{z \rightarrow \infty} = \mathbf{U}_\infty$ .

Введем следующие обозначения: для любой функции  $f = f(\xi, \circ)$ ,<sup>1</sup> определим среднее значение по формуле  $\bar{f}(\circ) = \frac{1}{2\pi} \int_0^{2\pi} f(\xi, \circ) d\xi$ , осциллирующую часть согласно формуле  $\tilde{f}(\xi, \circ) = f(\xi, \circ) - \bar{f}(\circ)$ , и осциллирующую первообразную  $F(\xi, \circ) = \int^\xi \tilde{f}(\xi, \circ) d\xi$  так, что  $\bar{F} = 0$ .

В работе [14] получено следующее асимптотическое решение рассматриваемой задачи.

**Теорема 1.** Пусть  $r \geq \delta > 0$ . Тогда формальное асимптотическое решение рассматриваемой задачи имеет вид

$$u(r, z) = rf(\tau) + \varepsilon^{1/3} [u_1^I(r, \xi, \theta) + \mu(r, \xi)rf'(\tau)] + O(\varepsilon^{2/3}), \quad (1)$$

$$v(r, z) = rg(\tau) + \varepsilon^{1/3} [v_1^I(r, \xi, \theta) + \mu(r, \xi)rg'(\tau)] + O(\varepsilon^{2/3}), \quad (2)$$

$$\begin{aligned} w(r, z) = \varepsilon^{2/3} & [w_2^I(r, \xi, \theta) + \tilde{w}_2^{II}(r, \xi, \tau)] \\ & + \varepsilon \left[ w_3^I(r, \xi, \theta) + \tilde{w}_3^{II}(r, \xi, \tau) + h(\tau) + \overline{\mu \frac{\partial \tilde{w}_2^{II}}{\partial \tau}} \right] + O(\varepsilon^{4/3}), \end{aligned} \quad (3)$$

где  $\theta = (z - z_s)/\varepsilon^{4/3}$ ,  $\tau = (z - z_s)/\varepsilon$ ,  $\xi = r/\varepsilon$ , и  $p_0 = \text{const}$ . Здесь пограничные переменные  $(\xi, \theta)$  используются в нижней палубе (см. область I на рис. 2), а переменные  $(\xi, \tau)$  — в средней палубе (см. область II на рис. 2). Отметим, что искривленная граница обтекаемой поверхности  $z = z_s$  станет плоской в переменных  $\theta$  и  $\tau$  (т.е.,  $\theta = 0$  и  $\tau = 0$ ).

Функции  $f(\tau)$ ,  $g(\tau)$  и  $h(\tau)$  являются решением классической системы ОДУ фон Кармана [18, 17] (она является решением невозмущенной задачи)

$$\begin{aligned} f^2 - g^2 + hf' - f'' &= 0, \quad 2fg + hg' - g'' = 0, \quad 2f + h' = 0, \quad (4) \\ f(0) = h(0) &= 0, \quad g(0) = 1, \quad f(\infty) = g(\infty) = 0. \end{aligned}$$

Скорость «поддерживаемого» потока  $u_\infty$  определяется как  $u_\infty = -h|_{\tau \rightarrow \infty}$ . Функции  $u_1^I(r, \xi, \theta)$ ,  $v_1^I(r, \xi, \theta)$ ,  $w_2^I(r, \xi, \theta)$  имеют вид

$$u_1^I = u_1^* - (\theta + \mu(r, \xi))rf'(0), \quad w_2^I = w_2^* - \tilde{w}_2^{II}|_{\tau=0}, \quad v_1^I = v_1^* - \theta rg'(0),$$

---

<sup>1</sup>Символ  $\circ$  обозначает любые другие переменные.

где функции  $u_1^*(r, \xi, \theta)$ ,  $v_1^*(r, \xi, \theta)$ ,  $w_2^*(r, \xi, \theta)$  являются решением краевой задачи для системы уравнений Прандтля с самоиндуцированным давлением

$$\begin{cases} u_1^* \left( \frac{\partial u_1^*}{\partial \xi} - \frac{\partial u_1^*}{\partial \theta} \frac{\partial \mu}{\partial \xi} \right) + w_2^* \frac{\partial u_1^*}{\partial \theta} - \frac{\partial^2 u_1^*}{\partial \theta^2} - r f'(0) w_2^*|_{\theta \rightarrow \infty} = 0, \\ u_1^* \left( \frac{\partial v_1^*}{\partial \xi} - \frac{\partial \mu}{\partial \xi} \frac{\partial v_1^*}{\partial \theta} \right) + w_2^* \frac{\partial v_1^*}{\partial \theta} - \frac{\partial^2 v_1^*}{\partial \theta^2} = 0, \\ \frac{\partial w_2^*}{\partial \theta} + \frac{\partial u_1^*}{\partial \xi} - \frac{\partial u_1^*}{\partial \theta} \frac{\partial \mu}{\partial \xi} = 0, \\ u_1^*|_{\theta=0} = w_2^*|_{\theta=0} = 0, \quad v_1^*|_{\theta=0} = -\mu(r, \xi) r g'(0), \\ w_2^*|_{\xi} = w_2^*|_{\xi+2\pi}, \quad u_1^*|_{\xi} = u_1^*|_{\xi+2\pi}, \quad v_1^*|_{\xi} = v_1^*|_{\xi+2\pi}, \\ \frac{\partial u_1^*}{\partial \theta}|_{\theta \rightarrow \infty} \rightarrow r f'(0), \quad \frac{\partial u_1^*}{\partial \xi}|_{\theta \rightarrow \infty} \rightarrow \frac{\partial \mu}{\partial \xi} r f'(0), \\ \frac{\partial v_1^*}{\partial \theta}|_{\theta \rightarrow \infty} \rightarrow r g'(0), \quad \frac{\partial w_2^*}{\partial \theta}|_{\theta \rightarrow \infty} \rightarrow 0. \end{cases} \quad (5)$$

Радиус  $r$  играет в этой задаче роль параметра — расстояние от центра диска, на котором исследуется течение.

Функция  $\tilde{w}_2^{\text{II}}$  является решением краевой задачи для уравнения типа Рэлея

$$f(\tau) \Delta_{\xi, \tau} \tilde{w}_2^{\text{II}} = \tilde{w}_2^{\text{II}} f''(\tau), \quad (6)$$

$$\tilde{w}_2^{\text{II}}|_{\tau=0} = \tilde{w}_2^*|_{\theta \rightarrow \infty}, \quad \tilde{w}_2^{\text{II}}|_{\tau \rightarrow \infty} \rightarrow 0, \quad \tilde{w}_2^{\text{II}}|_{\xi} = \tilde{w}_2^{\text{II}}|_{\xi+2\pi}, \quad (7)$$

где  $\Delta_{\xi, \tau}$  — оператор Лапласа по переменным  $\xi$  и  $\tau$ .

Остальные функции, входящие в разложения (1)–(3), равно как и выражение для давления  $p(r, z)$ , не представляют интереса в рамках данной работы, см. подробности в [14].

## 2 Уравнение типа Рэлея

Для удобства, введем следующие обозначения:  $q(\xi, \tau) \stackrel{\text{def}}{=} \tilde{w}_2^{\text{II}}(\xi, \tau)$ ,  $\gamma(\xi) \stackrel{\text{def}}{=} \tilde{w}_2^*|_{\theta \rightarrow \infty}$ . Перепишем задачу (6), (7) виде:

$$-\frac{\partial^2 q}{\partial \xi^2} - \frac{\partial^2 q}{\partial \tau^2} + V(\tau) q = 0, \quad (8)$$

$$q|_{\tau=0} = \gamma, \quad q|_{\tau \rightarrow \infty} = 0, \quad q|_{\xi} = q|_{\xi+2\pi}, \quad (9)$$

где потенциал  $V(\tau) = f''(\tau)/f(\tau)$ ,  $f(\tau)$  — решение задачи (4), см. [18, 20]. Отметим, что задача (4) эффективно решается численно комбинацией метода стрельбы и метода Рунге–Кутты, при этом получаются следующие дополнительные краевые условия [20]

$$f'(0) = \alpha \approx 0.51023, \quad g'(0) = \beta \approx -0.61592, \quad (10)$$

при этом «поддерживающая» скорость равна  $u_\infty \approx 0.88446$ .

Потенциал  $V(\tau)$  изображен на рис. 3. Отметим, что ноль потенциала достигается в точке  $\tau \approx 1.81197$ , и он ограничен своим значением при  $\tau \rightarrow \infty$ :  $V|_{\tau \rightarrow \infty} \approx 0.78227$ . Для функции  $f(\tau)$  несложно написать асимптотики при  $\tau \rightarrow +0$  и  $\tau \rightarrow \infty$  (см. [18]):

$$\begin{aligned} f(\tau) &= \alpha\tau - \frac{1}{2}\tau^2 + O(\tau^3), \quad \tau \rightarrow +0, \\ f(\tau) &= Ae^{-u_\infty\tau} + O(e^{-2u_\infty\tau}), \quad \tau \rightarrow \infty, \end{aligned}$$

где  $A \approx 0.93$ . Тогда для потенциала  $V(\tau)$  имеем следующие асимптотики

$$V(\tau) = \frac{-1 + O(\tau)}{\alpha\tau + O(\tau^2)} = -\frac{1}{\alpha\tau}(1 + O(\tau)), \quad \tau \rightarrow +0, \quad (11)$$

$$V(\tau) = u_\infty^2(1 + O(e^{-u_\infty\tau})), \quad \tau \rightarrow \infty. \quad (12)$$

Отметим, что уравнение (8) с одной стороны проще, чем уравнение типа Рэлея для случая пластины [16], т.к. в данном случае оно не содержит параметра, но с другой стороны, потенциал  $V(\tau)$  имеет особенность при  $\tau \rightarrow +0$ , см. (11).

Разложим функцию  $q$  в ряд Фурье:

$$q = \sum_{k \neq 0} q_k(\tau) e^{ik\xi} \quad (13)$$

( $k \neq 0$  т.к.  $\bar{q} = \int_0^{2\pi} q(\tau, \xi) d\xi = 0$  по ее определению). Тогда задача (8), (9) примет вид

$$-q_k'' + (V + k^2)q_k = 0, \quad k \in \mathbb{Z} \setminus 0, \quad (14)$$

$$q_k(0) = \gamma_k, \quad q_k|_{\tau \rightarrow \infty} = 0,$$

где  $\gamma_k$  — коэффициенты разложения функции  $\gamma(\xi)$ .

Перейдем от задачи (14) к задаче с нулевыми краевыми условиями. Введем срезающую функцию  $g_k(\tau) \in C^\infty[0, +\infty)$ , такую что  $g_k|_{\tau=0} = 1$ ,

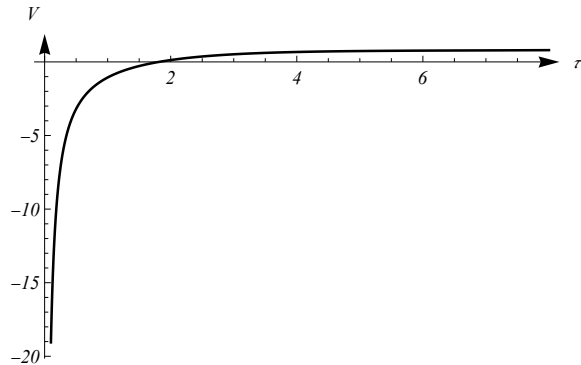


Рис. 3. Потенциал  $V(\tau)$

$g_k|_{\tau \rightarrow \infty} = O(\tau^{-N}) \forall N \in \mathbb{Z}_+$ . Введем новую функцию

$$\varphi_k(\tau) = q_k(\tau) - g_k(\tau)\gamma_k.$$

Тогда задача (14) примет вид

$$\begin{aligned} (\hat{L} + k^2)\varphi_k &= -\gamma_k(\hat{L} + k^2)g_k, \quad k \in \mathbb{Z} \setminus 0, \\ \varphi_k(0) &= 0, \quad \varphi_k|_{\tau \rightarrow \infty} = 0, \end{aligned} \tag{15}$$

где оператор

$$\hat{L} = -\frac{d^2}{d\tau^2} + V(\tau). \tag{16}$$

Очевидно, что уравнение (15) имеет единственное решение тогда и только тогда, когда  $-k^2$  не является собственным числом оператора  $\hat{L}$  — только в этом случае  $\text{Ker } \hat{L} = \emptyset$ . Сформулируем результат в виде следующего утверждения.

**Лемма 1.** *Решение уравнения типа Рэлея (8) существует и единствено тогда и только тогда, когда спектр оператора  $\hat{L}$  (16) не содержит отрицательных целочисленных ( $-k^2, k \in \mathbb{Z} \setminus 0$ ) собственных значений.*

### 3 Спектр оператора $\hat{L}$

Рассмотрим задачу Штурма–Лиувилля

$$-\psi''_{\tau\tau} + V\psi = E\psi, \quad \psi(0) = 0, \quad \psi(\infty) = 0. \tag{17}$$

Нашей целью является показать, что у задачи (17) нет отрицательных целочисленных собственных значений.

Пусть  $\hat{V}(\tau) = V(\tau) - u_\infty^2$ . Тогда из (11), (12) следует, что  $\hat{V}(\tau) = -1/(\alpha\tau) + O(1)$  при  $\tau \rightarrow +0$ , и  $\hat{V}(\tau) = O(e^{-u_\infty\tau})$  при  $\tau \rightarrow +\infty$ . Обозначим  $\hat{E} = E - u_\infty^2$ . Тогда задача (17) примет вид

$$-\psi''_{\tau\tau} + \hat{V}\psi = \hat{E}\psi, \quad \psi(0) = 0, \quad \psi(\infty) = 0. \tag{18}$$

Отметим, что фактически нам нужно показать, что в задаче (18) не существует такого собственного числа  $\hat{E}$ , что  $\hat{E} + u_\infty^2 \in \mathbb{Z}_-$ . Вообще говоря, с учетом того, что  $u_\infty^2 \notin \mathbb{Z}$ , весьма очевидно, что это верно.

Рассмотрим следующую вспомогательную задачу:

$$-y''_{\tau\tau} - \frac{1.1}{\alpha\tau}y = \lambda y, \quad y(0) = 0, \quad y(\infty) = 0. \tag{19}$$

Сделав замену  $\eta = \tau/(\alpha/1.1)$ , получим спектральную задачу с потенциалом Кулона

$$-y''_{\eta\eta} - \frac{1}{\eta}y = \hat{\lambda}y, \quad y(0) = 0, \quad y(\infty) = 0, \tag{20}$$

где  $\hat{\lambda} = (\alpha/1.1)^2\lambda$ . Ее решение известно [21]: непрерывный спектр  $(0, +\infty)$  и серия отрицательных дискретных собственных значений

$$\hat{\lambda}_i = -\frac{1}{4(i+1)^2}, \quad i = 0, 1, 2, \dots$$

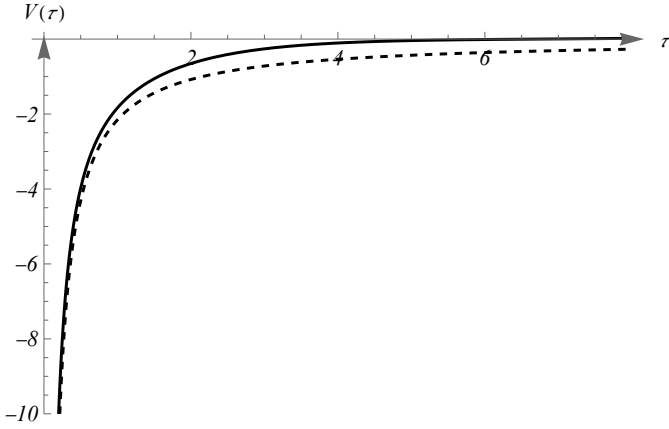


Рис. 4. Потенциалы  $\hat{V}(\tau)$  (сплошная линия) и  $V_1(\tau) = -1.1/(\alpha\tau)$  (пунктирная линия)

Видно, что  $0 > \hat{\lambda}_i \geq -1/4$ ,  $i = 0, 1, 2, \dots$ . Очевидно, что отрицательный дискретный спектр исходной задачи (19) имеет вид  $\lambda_i = \hat{\lambda}_i/(\alpha/1.1)^2 \notin \mathbb{Z}$ ,  $i = 0, 1, 2, \dots$ . Более того, легко видеть, что  $\lambda_i \in [-1/(4(\alpha/1.1)^2), 0)$ , где  $-1/(4(\alpha/1.1)^2) \approx -1.163$ , т.е.  $\lambda_i \in [-1.163, 0)$ ,  $i = 0, 1, 2, \dots$ , причем очевидно что  $\lambda_i \neq -1$  (в силу множителя  $1/(\alpha/1.1)$ ).

Потенциал  $\hat{V}$  в задаче (18) больше<sup>2</sup> потенциала из вспомогательной задачи (см. рис. 4):

$$\hat{V} > -\frac{1.1}{\alpha\tau} = V_1(\tau), \quad \tau \in (0, +\infty).$$

Тогда

$$\begin{aligned} \left\langle \left( -\frac{d^2}{d\tau^2} + \hat{V} \right) \psi, \psi \right\rangle &= \left\langle \left( -\frac{d^2}{d\tau^2} + V_1 + \hat{V} - V_1 \right) \psi, \psi \right\rangle = \\ &= \underbrace{\left\langle \left( -\frac{d^2}{d\tau^2} + V_1 \right) \psi, \psi \right\rangle}_{\geq -1.163 \|\psi\|^2} + \underbrace{\left\langle (\hat{V} - V_1) \psi, \psi \right\rangle}_{\geq 0} \geq -1.163 \|\psi\|^2. \end{aligned}$$

Следовательно,  $\hat{E} \geq -1.163$  (т.к.  $\|\psi\| = 1$ ). Значит, собственные значения оператора  $\hat{L}$

$$E \geq -1.163 + u_\infty^2 \approx -0.38.$$

Тогда очевидно, что не существует такого  $k \in \mathbb{Z} \setminus 0$ , что  $-k^2 = E$ . В итоге мы доказали следующее утверждение.

---

<sup>2</sup>В силу отсутствия аналитического выражения для  $\hat{V}$  это можно лишь проверить численно, откуда и была подобрана константа 1.1. В окрестности нуля и бесконечности это неравенство строго обусловлено асимптотикой (11), (12) с учетом замены  $V$  на  $\hat{V}$ .

**Лемма 2.** *Спектр оператора  $\hat{L}$  не содержит отрицательных целочисленных ( $-k^2$ ,  $k \in \mathbb{Z} \setminus 0$ ) собственных значений.*

Данная лемма доказывает существование единственного решения уравнения типа Рэлея (6), см. Лемму 1. Отметим, что конечно этот подход не полностью строгий, т.к. основан на комбинации как аналитических, так и численных методов, но в силу отсутствия явной аналитической формы решения краевой задачи для уравнения типа Рэлея, полностью строгого (аналитического) доказательства невозможно представить.

#### 4 Заключение

В работе доказано, что решение краевой задачи на уравнение типа Рэлея (6), (7) существует и единственno. Это доказывает существование и единственность двухпалубной структуры пограничного слоя в стационарной задаче о течении, индуцированном равномерно вращающимся диском с аксиально-симметричными быстросциллирующими малыми неровностями на его поверхности при достаточно больших числах Рейнольдса.

#### References

- [1] V.Ya. Neiland, *Theory of laminar boundary-layer separation in supersonic flow*, Fluid Dyn., **4** (1969), 33–35.
- [2] A.H. Nayfeh, *Triple-deck structure*, Comp. Fluids, **20**:3 (1991), 269–292. Zbl 0739.76061
- [3] F.T. Smith, *Laminar flow over a small hump on a flat plate*, J. Fluid Mech., **57** (1973), 803–824. Zbl 0255.76084
- [4] S. Iyer, V. Vicol, *Real analytic local well-posedness for the triple deck*, Commun. Pure Appl. Math., **74**:8 (2021), 1641–1684. Zbl 1476.35200
- [5] V.G. Danilov, R.K. Gaydukov, *Asymptotic multiscale solutions to Navier-Stokes equations with fast oscillating perturbations in boundary layers*, Russ. J. Math. Phys., **29**:4 (2022), 431–455. Zbl 1514.35313
- [6] V.G. Danilov, R.K. Gaydukov, *Asymptotic solutions of flow problems with boundary layer of double-deck structures*, Math. Notes, **112**:4 (2022), 523–532. Zbl 1522.76021
- [7] V.G. Danilov, M.V. Makarova, *Asymptotic and numerical analysis of the flow around a plate with small periodic irregularities*, Russ. J. Math. Phys., **2**:1 (1994), 49–56. Zbl 0967.76536
- [8] V.G. Danilov, R.K. Gaydukov, *Double-deck structure of the boundary layer in problems of flow around localized perturbations on a plate*, Math. Notes, **98**:4 (2015), 561–571. Zbl 1358.76024
- [9] R.K. Gaydukov, *Double-deck structure of the boundary layer in the problem of a compressible flow along a plate with small irregularities on the surface*, Eur. J. Mech. B/Fluids, **66** (2017), 102–108. Zbl 1408.76448
- [10] R.K. Gaydukov, *Double-deck structure in the fluid flow problem over plate with small irregularities of time-dependent shape*, Eur. J. Mech. B/Fluids, **89** (2021), 401–410. Zbl 1492.76042
- [11] R. Yapalparvi *Double-deck structure revisited*, Eur. J. Mech. B/Fluids, **31** (2012), 53–70. Zbl 1258.76069

- [12] T.M.A. El-Mistikawy, *Asymptotic structure incorporating double and triple decks*, ZAMM, Z. Angew. Math. Mech., **89**:1 (2009), 38–43. Zbl 1156.76021
- [13] V.G. Danilov, R.K. Gaydukov, *Double-deck structure of the boundary layer in the problem of flow in an axially symmetric pipe with small irregularities on the wall for large Reynolds numbers*, Russ. J. Math. Phys., **24**:1 (2017), 1–18. Zbl 1370.76039
- [14] R.K. Gaydukov, A.V. Fonareva, *Double-deck structure in the fluid flow induced by a uniformly rotating disk with small symmetric irregularities on its surface*, Eur. J. Mech. B/Fluids, **94** (2022), 50–59. Zbl 1490.76085
- [15] C. Chicchiero, A. Segalini, S. Camarri, *Triple-deck analysis of the steady flow over a rotating disk with surface roughness*, Phys. Rev. Fluids, **6** (2021), Article ID 014103.
- [16] D.I. Borisov, R.K. Gaydukov, *Existence of the stationary solution of a Rayleigh-type equation*, Math. notes, **99**:5 (2016), 636–642. Zbl 1408.35118
- [17] Th. von Kármán, *Über laminare und turbulente Reibung*, ZAMM, **1** (1921), 233–252. JFM 48.0968.01
- [18] V.G. Levich, *Physicochemical hydrodynamics*, Prentice-Hall, 1962. (1959 Zbl 0089.43003)
- [19] L.D. Landau, E.M. Lifshitz, *Fluid mechanics*, Pergamon Press, Oxford etc., 1987. Zbl 0655.76001
- [20] H. Schlichting, K. Gersten, *Boundary-layer theory*, Springer, Berlin, 2000. Zbl 0940.76003
- [21] J.D. Pryce, *A test package for Sturm-Liouville solvers*, ACM Trans. Math. Softw., **25**:1 (1999), 21–57. Zbl 0962.65063

ROMAN KOSNTANTINOVICH GAYDUKOV

HSE UNIVERSITY,  
UL. MYASNITSKAYA, 20,  
101000, MOSCOW, RUSSIA

*Email address:* [roma1990@gmail.com](mailto:roma1990@gmail.com)